

Пикалов Р.С., Асланов В.С.

СБЛИЖЕНИЕ КОСМИЧЕСКОГО БУКСИРА С КОСМИЧЕСКИМ МУСОРОМ ПРИ ПОМОЩИ ТРОСОВОЙ СИСТЕМЫ С ДЕМПФЕРОМ

Введение

Одной из наиболее значимых задач современной космонавтики является уборка космического мусора. Различным аспектам, связанным с данной проблемой посвящено множество работ, в частности [1-7]. Один из способов заключается в использовании специальных аппаратов – космических буксиров, которые будут производить захват и последующий вывод космического мусора с орбиты [2-3].

В работе рассматривается задача осуществления безопасного сближения буксира с космическим мусором при помощи тросовой системы с демпфером. Целью работы является изучение динамики системы во время выполнения маневра сближения.

1. Уравнения движения

Рассмотрим механическую систему, представленную на рис. 1. Она состоит из буксира и космического мусора, связанных между собой вязкоупругим тросом длиной l_0 . Будем моделировать твердое тело буксира как совокупность двух материальных точек S_1 и S_3 , связанных между собой вязкоупругим стержнем длиной δ_0 . Масса точки S_3 будет значительно меньше массы точки S_1 ($m_3 \ll m_1$). Космический мусор смоделируем как материальную точку S_2 массой m_2 . В системе стержень выполняет функции демпфера, поскольку крепится не к центру масс, а к точке, соединенной с центром масс посредством демпфера (рис. 1). Движение рассматривается относительно орбитальной системы координат $Sxyz$ в гравитационном поле Земли. Ось Sx направлена по касательной к орбите, ось Sy направлена к центру Земли, Sz дополняет систему до правой тройки векторов. Положение точек системы определяется векторами $\mathbf{p}_i = \{x_i, y_i, z_i\}^T$. Уравнения движения системы можно записать в следующей форме [8]

$$\ddot{\mathbf{p}}_i = \frac{1}{m_i} (\mathbf{F}_i^g + \mathbf{\Phi}_i^e + \mathbf{\Phi}_i^c + \mathbf{f}_i), \quad i = 1, 2, 3. \quad (1)$$

Здесь \mathbf{F}_i^g – сила гравитационного воздействия Земли, $\mathbf{\Phi}_i^e, \mathbf{\Phi}_i^c$ – силы инерции определяемые формулами

$$\mathbf{F}_i^g = -\mu \frac{m_i}{|\mathbf{r}_i|^3} \mathbf{r}_i, \quad \mathbf{\Phi}_i^e = m_i (\mathbf{r}\omega + \mathbf{h}_i\omega^2), \quad \mathbf{\Phi}_i^c = -2m_i (\boldsymbol{\omega} \times \dot{\mathbf{p}}_i), \quad (2)$$

где μ – гравитационный параметр Земли; $\mathbf{r}_i = \mathbf{r} + \mathbf{p}_i$ – вектора, задающие положение точек системы относительно центра Земли; $\mathbf{h}_i = \{x_i, y_i, 0\}^T$ – вектор, определяющий расстояние до оси вращения для точек системы; $\boldsymbol{\omega} = \{0, 0, \omega\}^T$ – вектор угловой скорости вращения системы координат, $\omega = const$.

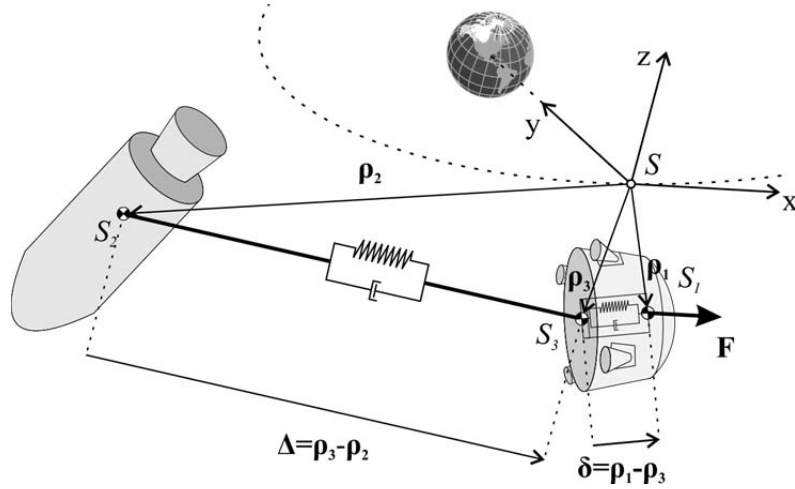


Рис. 1. Схема системы

Подставляя (2) в (1) и учитывая, что система движется по круговой орбите, запишем уравнения движения в известной линеаризованной форме [8]

$$\ddot{\rho}_i = -3\omega^2 \frac{y_i}{r} \mathbf{r} - (\boldsymbol{\rho} - \mathbf{h}_i) \omega^2 - 2(\boldsymbol{\omega} \times \dot{\rho}_i) + \frac{\mathbf{f}_i}{m_i}, \quad i = 1, 2, 3. \quad (3)$$

Введем следующие новые переменные

$$\boldsymbol{\Delta} = \boldsymbol{\rho}_3 - \boldsymbol{\rho}_2 = \{x_3 - x_2, y_3 - y_2, z_3 - z_2\}^T, \quad \boldsymbol{\delta} = \boldsymbol{\rho}_1 - \boldsymbol{\rho}_3 = \{x_1 - x_3, y_1 - y_3, z_1 - z_3\}^T. \quad (4)$$

С учетом (4) уравнения (3) примут вид

$$\begin{aligned} \ddot{\boldsymbol{\Delta}} &= -3\omega^2 \frac{\Delta_y}{r} \mathbf{r} - \omega^2 \boldsymbol{\Delta}_z - 2(\boldsymbol{\omega} \times \dot{\boldsymbol{\Delta}}) + \left(\frac{\mathbf{f}_3}{m_3} - \frac{\mathbf{f}_2}{m_2} \right), \\ \ddot{\boldsymbol{\delta}} &= -3\omega^2 \frac{\delta_y}{r} \mathbf{r} - \omega^2 \boldsymbol{\delta}_z - 2(\boldsymbol{\omega} \times \dot{\boldsymbol{\delta}}) + \left(\frac{\mathbf{f}_1}{m_1} - \frac{\mathbf{f}_3}{m_3} \right). \end{aligned} \quad (5)$$

Силы взаимодействия точек системы \mathbf{f}_i определяются формулами

$$\mathbf{f}_1 = F \{1, 0, 0\}^T - T_d \frac{\boldsymbol{\delta}}{|\boldsymbol{\delta}|}, \quad \mathbf{f}_2 = T_t \frac{\boldsymbol{\Delta}}{|\boldsymbol{\Delta}|}, \quad \mathbf{f}_3 = T_d \frac{\boldsymbol{\delta}}{|\boldsymbol{\delta}|} - T_t \frac{\boldsymbol{\Delta}}{|\boldsymbol{\Delta}|}, \quad (6)$$

где $F = const$ – тяга, действующая на буксир; T_t и T_d – вязкоупругие силы троса и демпфера соответственно. Они определяются следующим образом

$$T_t = \begin{cases} k_t \varepsilon_t + c_t \dot{\varepsilon}_t & |\boldsymbol{\Delta}| \geq l, \\ 0 & |\boldsymbol{\Delta}| < l, \end{cases} \quad T_d = \begin{cases} k_d \varepsilon_d + c_d \dot{\varepsilon}_d & |\boldsymbol{\delta}| \geq \delta_0, \\ 0 & |\boldsymbol{\delta}| < \delta_0, \end{cases} \quad (7)$$

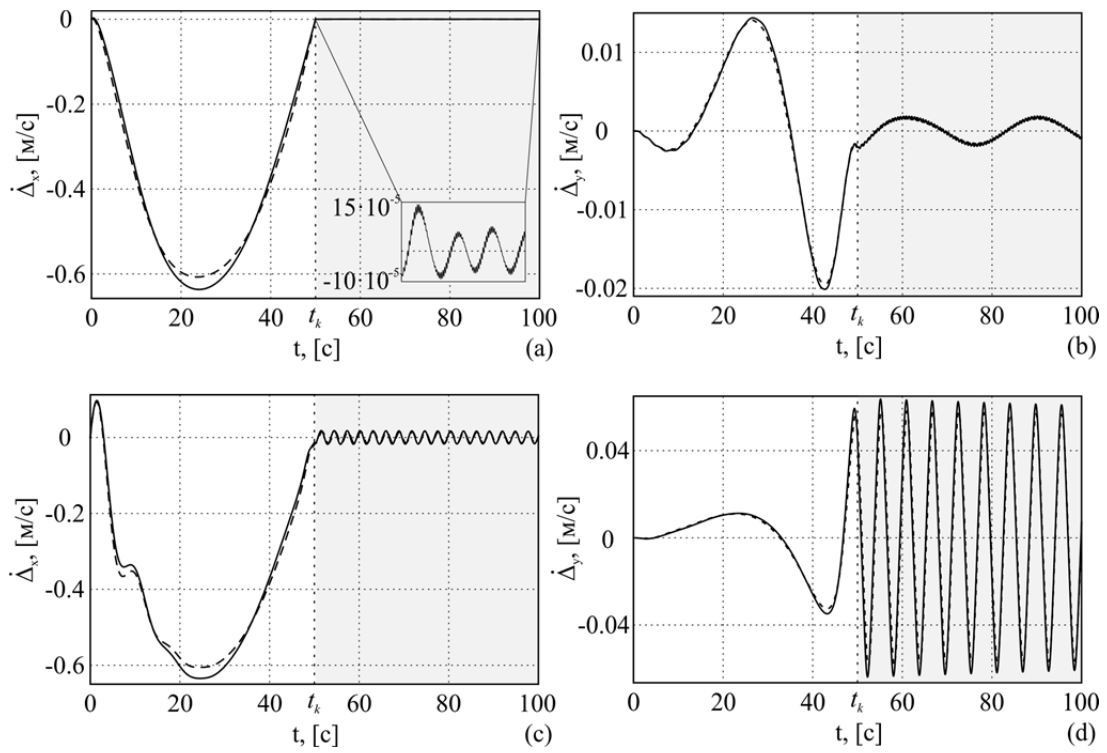
где k_t и k_d – жесткость троса и демпфера соответственно; c_t и c_d – коэффициент демпфирования для троса и демпфера соответственно.

Относительные деформации и их производные для троса и демпфера соответственно определяются формулами

$$\varepsilon_t = \frac{|\boldsymbol{\Delta}|}{l} - 1, \quad \dot{\varepsilon}_t = \frac{\boldsymbol{\Delta} \dot{\boldsymbol{\Delta}}}{l|\boldsymbol{\Delta}|} - \frac{|\dot{\boldsymbol{\Delta}}|}{l}, \quad \varepsilon_d = \frac{|\boldsymbol{\delta}|}{\delta_0} - 1, \quad \dot{\varepsilon}_d = \frac{\boldsymbol{\delta} \dot{\boldsymbol{\delta}}}{\delta_0 |\boldsymbol{\delta}|} - 1, \quad (8)$$

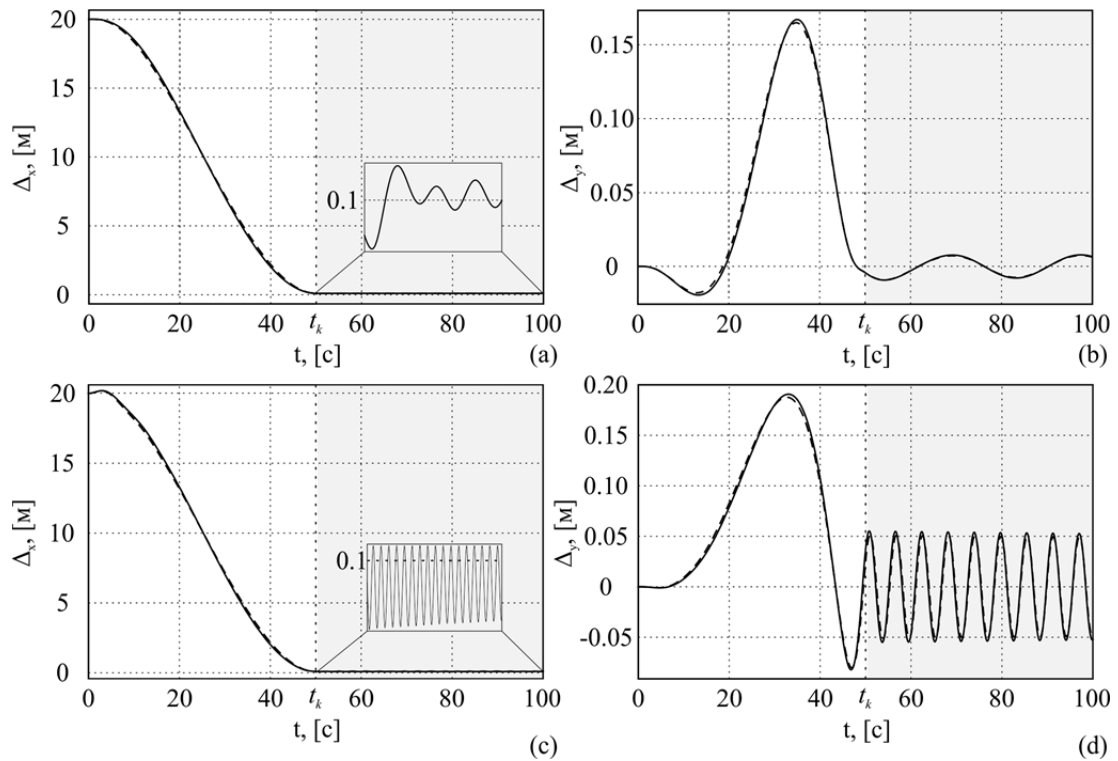
где l – длина троса изменяющаяся по заданному закону управления.

Будем использовать следующие законы [8]:



а, б – система с демпфером, с, д – система без демпфера

Рис. 3. Изменение скоростей $\dot{\Delta}_x, \dot{\Delta}_y$



а, б – система с демпфером, с, д – система без демпфера

Рис. 4. Изменение координат Δ_x, Δ_y

Заключение

Рассмотрена динамика сближения буксира с космическим мусором при помощи тросовой системы с демпфером. Построена математическая модель системы, предложено два закона управления тросом. Результаты численных экспериментов показывают, что добавление в систему демпфера позволяет снизить колебания троса, возникающие после выполнения маневра сближения.

Работа выполнена при поддержке Российского Научного Фонда (Проект № 16-19-10158).

Библиографический список

1. Kessler, D.J. The Kessler syndrome: implications to future space operations [Текст] / D.J. Kessler, N.L. Johnson, J.C. Liou, M. Matney // *Advanced in the Astronautical Science*. – 2010. – Vol. 137. №8. P. 1–15.
2. Bonnal, C. Active debris removal: Recent progress and current trends [Текст] / C. Bonnal, J.M. Ruault, M.C. Desjean // *Acta Astronautica*. – 2013. Vol.85. P. 51-60.
3. Pelton, J.N. New solutions for the space debris problem [Текст] / J.N. Pelton. – Springer Cham Heidelberg New York Dordrecht London, 2015. – 94 p.
4. Sabatini, S. Elastic issues and vibration reduction in a tethered deorbiting mission [Текст] / M. Sabatini, P. Gasbarri, G. B. Palmerini // *Advanced in Space Research*. – 2016. Vol.57. № 9. P. 1951–1964
5. Aslanov, V.S. Rigid body dynamics for space applications [Текст] / V.S. Aslanov. – Elsevier, 2017. – 420 P.
6. Aslanov, V.S. Rendezvous of non-cooperative spacecraft and tug using a tether system [Текст] / V.S. Aslanov, R.S. Pikalov // *Engineering Letters*. – 2017. – Vol.25. № 2. – P. 142–146.
7. Асланов, В.С. Безударное сближение космического мусора с буксиром при использовании тросовой системы [Текст] / В.С. Асланов, Р.С. Пикалов // *Труды МАИ*. – 2017. – № 92. – С.1–24.
8. Schaub, H. *Analytical Mechanics of Aerospace Systems* [Текст] / H. Schaub, J.L. Junkins. – AIAA, 2003. – 578 P.